



دانشگاه آزاد اسلامی واحد اهر  
فصلنامه علمی-پژوهشی فضای جغرافیایی

سال شانزدهم، شماره ۵۶  
زمستان ۱۳۹۵، صفحات ۱۶۸-۱۵۱

محمد محمدلو<sup>۱</sup>  
علی حقی زاده<sup>۲</sup>  
حسین زینی وند<sup>۳</sup>  
ناصر طهماسبی پور<sup>۴</sup>

## ارزیابی اثرات تغییر اقلیم بر روند تغییرات دما و بارندگی حوضه آبخیز باراندوزچای در استان آذربایجان غربی با استفاده از مدل‌های چرخش عمومی جو

تاریخ پذیرش: ۱۳۹۴/۰۲/۲۳

تاریخ دریافت: ۱۳۹۳/۰۷/۱۸

### چکیده

تغییر اقلیم از دیدگاه بسیاری از صاحب‌نظران یک پدیده‌ی طبیعی است که در توالی‌های زمانی بلندمدت به وقوع می‌پیوندد. تأثیر فعالیت‌های بشری سبب تشدید اثرات پدیده تغییر اقلیم، شدت روند تغییرات و تغییر بازه‌ی زمانی توالی تغییرات اقلیمی می‌شود. در بررسی تغییر اقلیم می‌توان از پارامترهای هواشناسی به‌عنوان شاخص‌های تغییر اقلیم استفاده نمود. هدف از این پژوهش شبیه‌سازی پیامدهای تغییر اقلیم بر روی دما و بارندگی حوضه‌ی آبخیز باراندوزچای است. ابتدا داده‌های اقلیمی دوره‌ی پایه از سال ۱۹۹۰ تا سال ۲۰۰۹ میلادی به‌صورت روزانه فراهم شد. سپس با استفاده از الگوی LARS-WG اقدام به ریزمقیاس‌نمایی داده‌های حاصل از مدل‌های GCM منتخب گردید و داده‌های روزانه اقلیمی تا سال ۲۰۴۰ میلادی تولید گردید. در نهایت اقدام به بررسی و آنالیز روند تغییرات دما و بارش برای حوضه‌ی مورد مطالعه گردید. نتایج پژوهش نشان داد که در دوره‌های آتی مولفه دما نسبت به دوره‌ی پایه افزایش خواهد یافت. طوری که در دو مدل GCM مورد استفاده در این مطالعه و ۵ سناریوی انتشار

۱- کارشناسی ارشد آبخیزداری، دانشکده کشاورزی و منابع طبیعی، دانشگاه لرستان، ایران.

E-mail: haghizadeh.a@lu.ac.ir

۲- استادیار گروه مهندسی آبخیزداری، دانشکده کشاورزی و منابع طبیعی، دانشگاه لرستان، ایران.

۳- دانشیار گروه مهندسی آبخیزداری، دانشکده کشاورزی و منابع طبیعی، دانشگاه لرستان، ایران.

۴- استادیار گروه مهندسی آبخیزداری، دانشکده کشاورزی و منابع طبیعی، دانشگاه لرستان، ایران.

گازهای گلخانه‌ای، این افزایش دیده می‌شود. نتایج نشان داد که میزان بارندگی در دوره‌ی آتی به میزان قابل توجهی افزایش خواهد یافت. ولی با این حال تغییر در الگوی زمانی بارندگی‌ها مشاهده می‌گردد. میانگین سالانه بارندگی دوره‌ی پایه ۲۸۷/۳۷ میلی‌متر است و این میزان برای دوره‌ی آتی و دو سناریوی A1B و A2 مدل CNRMCM3 به ترتیب برابر ۳۲۴/۵۵ و ۳۵۶/۲۸ میلی‌متر و برای سه سناریوی A1B و A2 و B1 مدل IPSLCM4 به ترتیب برابر با ۳۲۰/۴۴ و ۳۳۳/۶ و ۳۲۴/۶۳ میلی‌متر خواهد بود که بیش‌ترین افزایش را سناریوی A2 مدل CNRMCM3 با میزان ۶۸/۹۱ میلی‌متر نسبت به دوره‌ی پایه خواهد داشت. هر چند که در بعضی از سناریوها کاهش بارندگی مشاهده می‌گردد. با این حال افزایش بارندگی در اکثر سناریوهای مورد مطالعه این مدل‌ها مشاهده می‌گردد ولی افزایش دما می‌تواند این افزایش بارندگی را با افزایش میزان تبخیر و تعرق و افزایش نیاز آبی گیاهان خنثی نماید. از طرف دیگر با توجه به این‌که بارندگی در فصل زمستان کاهش خواهد یافت، میزان برف باریده شده در منطقه که منبع مهم ذخیره آب‌های زیرزمینی می‌باشد، کاهش خواهد یافت.

**کلیدواژه‌ها:** مدل‌های GCM، LARS-WG، تغییر اقلیم، حوضه‌ی باراندوزچای، ریزمقیاس‌نمایی

#### مقدمه

انجام پژوهش‌های مرتبط با تغییر اقلیم برای آمادگی هر چه بیشتر جهت سازگاری با این پدیده و نیز کاهش هزینه‌های خسارات بار ناشی از این تغییرات بسیار ضروری می‌باشد. پدیده‌ی تغییر اقلیم که ناشی از افزایش غلظت گازهای گلخانه‌ای به‌ویژه گاز دی‌اکسیدکربن در جو می‌باشد، باعث تغییراتی در رژیم بارش، میزان رواناب، سرعت باد، تابش خورشیدی رسیده به سطح زمین و دمای هوا می‌شود. توجه به تغییرات اقلیمی در سال‌های اخیر به‌علت پیامدهای اقتصادی، اجتماعی و خسارات مالی مربوط به رویدادهای جوی اهمیت زیادی پیدا کرده است (محمدی و تقوی، ۱۳۸۴: ۱۵۱). تبعات منفی این پدیده برای بشر تا آنجا می‌تواند مخرب باشد که در بین ده عامل تهدیدآمیز برای بشر در قرن بیست و یکم، مانند فقر، سلاح‌های هسته‌ای، کمبود غذا و... پدیده تغییر اقلیم مقام اول را به‌خود اختصاص داده است (هیئت بین‌الدول تغییر آب‌وهوا، ۲۰۰۷). طبق گزارش‌های هیئت بین‌الدول تغییر اقلیم اگر در حال حاضر انتشار تمامی گازهای گلخانه‌ای در سطح کره زمین متوقف شود، پدیده تغییر اقلیم تا اواخر قرن بیست و یکم ادامه خواهد داشت که این امر به‌دلیل عمر ماندگاری ۱۵۰ ساله دی‌اکسیدکربن به‌عنوان مهم‌ترین گاز گلخانه‌ای در جو زمین می‌باشد (هیئت بین‌الدول تغییر آب‌وهوا، ۲۰۰۷). از این‌رو مهم‌ترین وظیفه جوامع علمی کشورها در برخورد با این پدیده، بررسی اثرات تغییر اقلیم بر سیستم‌ها و جنبه‌های مختلف زندگی بشر و ارائه راه‌کارهای تطبیقی در مقابله با تبعات منفی این پدیده در دوره‌های آتی می‌باشد. روش‌های مختلفی برای شبیه‌سازی متغیرهای اقلیمی در دوره‌های آتی وجود دارد که معتبرترین آن‌ها استفاده از خروجی مدل‌های گردش عمومی اقیانوس-جو

(AOGCM<sup>۱</sup>) می‌باشند (لندر<sup>۷</sup>، ۲۰۰۶: ۴۹۰). باید توجه داشت که در صورت استفاده از روش مناسب و معتبر در ریزمقیاس نمایی خروجی مدل‌های گردش عمومی جو، این مدل‌ها ابزار مناسبی برای پیش‌بینی وقایع اقلیمی و حدی هستند، از سوی دیگر این مدل‌ها قادر به تولید سری‌های زمانی طولانی‌مدت هستند که می‌توان به کمک آن‌ها به آنالیز تغییرات احتمالی وقایع حدی در دوره‌های آینده نیز پرداخت (لوکاس<sup>۸</sup>، ۲۰۰۸: ۲۵). پیش‌بینی‌های اقلیمی و ارزیابی تغییر اقلیم با مشکلاتی نظیر برآورد سطح انتشار گازهای گلخانه‌ای و سایر آلاینده‌ها در دهه‌های آتی، بزرگ‌مقیاس بودن تفکیک مکانی و زمانی الگوهای گردش عمومی جو و نظایر آن مواجه است. نظر بر اهمیت موضوع تغییر اقلیم در سال‌های اخیر، مطالعات زیادی در این زمینه صورت پذیرفته است که به بعضی از آن‌ها اشاره می‌گردد. جانسون<sup>۹</sup> و همکاران، (۱۸۸۸: ۱۹۹۶)، دو مدل مختلف به نام‌های USCLIMATE و TECLIGEN را برای تولید داده‌های هواشناسی و پیش‌بینی آب‌وهوایی در نیوزلند به‌کار بردند. در پژوهش دیگری پیامدهای هیدرولوژی تغییر اقلیم به‌وسیله مدل‌های<sup>۱۱</sup> GCM و یک مدل کوچک‌مقیاس نمایی آنالوگ در جنوب انگلستان آزمون شد (الشمی<sup>۱۱</sup>، ۲۰۰۵: ۱۵). ویلیبی<sup>۱۲</sup> و همکاران (۲۰۰۱: ۷۸۰)، مدل<sup>۱۳</sup> SDSM را برای ریزمقیاس‌نمایی اطلاعات بارش و دما با استفاده از روش‌های آماری ابداع کردند. اشرف و همکاران (۱۳۹۰)، در تحقیقی روند تغییرات پارامترهای اقلیمی مشهد در دوره ۲۰۳۰-۲۰۱۱ را با استفاده از داده‌های شبیه‌سازی شده مدل<sup>۱۴</sup> LARS-WG بررسی نموده و نتایج حاصل نشان از توانمندی بالای این مدل مولد داده‌های هواشناسی در تولید داده‌های روزانه پارامترهای اقلیمی داشت.

میلر<sup>۱۵</sup> (۲۰۱۴: ۷۷۸)، با در نظر گرفتن شرایط تغییر اقلیم در حوضه‌های رودخانه‌های ایالت کالیفرنیا آمریکا پیش‌بینی کردند که پایان قرن حاضر ذوب برف هر سال زودتر آغاز می‌گردد و ذخایر برف زمستانه به میزان ۵۰ درصد کاهش می‌یابد. آندره روس<sup>۱۶</sup> (۲۰۰۹)، در مطالعه‌ای با عنوان مهندسی اقلیم و ریسک سرعت تغییر اقلیم، با استفاده از مدل اقلیمی MAGICC SCENGEN آهنگ تغییرات دما را برای دهه‌های آینده برآورد کردند. ویلیبی<sup>۱۷</sup> و همکاران (۲۰۱۳: ۱۷۱۶) نشان دادند که مدل ریزمقیاس‌نمایی آماری SDSM بهتر می‌تواند سناریوهای تغییر اقلیم دوره‌ی آینده را از طریق ایجاد ارتباط آماری بین مدل‌های GCM و عناصر آب‌وهوای منطقه‌ای، پیش‌بینی کند.

- 
- 6- Atmospheric-Ocean General Circulation Model
  - 7- Leande
  - 8- Loukas
  - 9- Johnson et al
  - 10- General Circulation Model
  - 11- Statistic Downscaling Model
  - 12- Willby et al
  - 13- Statistic Downscaling Model
  - 14- Long Ashton Research Station Weather Generator
  - 15- Miller
  - 16- Andrew Ross
  - 17- Willby et al

عباسی و همکاران به پیش‌بینی تغییرات اقلیمی خراسان جنوبی در دوره‌ی ۲۰۳۹-۲۰۱۰ میلادی با استفاده از ریزمقیاس‌نمایی آماری خروجی مدل ECHO-G پرداختند. نتایج کلی بررسی‌ها برای دوره‌ی مذکور حاکی از افزایش ۴ درصدی بارش در استان، کاهش تعداد روزهای یخبندان و افزایش میانگین سالانه دما در حدود ۰/۳ درجه سانتی‌گراد می‌باشد که بیش‌ترین افزایش دما مربوط به فصل زمستان به میزان یک درجه سانتی‌گراد خواهد بود (عباسی و همکاران، ۱۳۸۹: ۲۱۸).

مهدی‌زاده و همکاران بررسی تغییر اقلیم بر میزان بارش در حوضه سد گلستان را با استفاده از مدل CGCM و برای دو سناریوی A2 و B1 برای بازه زمانی ۲۰۲۱ تا ۲۰۵۰ و ۲۰۷۱ تا ۲۱۰۰ با یک روش ریزمقیاس‌نمایی شبکه عصبی انجام دادند. نتایج نشان داد که میزان بارندگی‌ها در فصل پاییز و زمستان افزایش و در بهار و تابستان کاهش می‌یابد (مهدی‌زاده و همکاران، ۱۳۹۰: ۱۴) را مورد مطالعه قرار دادند.

لازار و ویلیامز<sup>۱۸</sup> (۲۰۰۸: ۲۱۹)، در مطالعه‌ای تأثیرات تغییر اقلیم ناشی از افزایش گازهای گلخانه‌ای را بر کمیت و میزان تراکم برف و همچنین تغییرات زمانی وقوع بهمن در منطقه کوهستانی Aspen را در سال‌های ۲۰۳۰ و ۲۱۰۰ بررسی کردند. در مطالعه مذکور برای ارزیابی تغییرات اقلیمی دما و بارش از خروجی پنج مدل گردش عمومی جو استفاده شد.

کارآموز و همکاران (۲۰۰۹: ۱۶۸)، با استفاده از خروجی مدل HadCM3 تأثیر روش‌های کوچک‌مقیاس کردن را بر بارش در جنوب‌شرقی ایران بررسی نمودند. روش‌های مورد استفاده، روش رگرسیون چند متغیره، شبکه عصبی پرسپترون چندلایه و شبکه عصبی المان می‌باشد. نتایج نشان داد که روش رگرسیون چند متغیره نتایج بهتری نسبت به روش شبکه عصبی خواهد داشت. همچنین در پژوهشی که توسط ژائو و همکاران<sup>۱۹</sup> (۲۰۰۵: ۱۲۰)، در آفریقای جنوبی انجام گردید، واکنش متغیرهای اقلیمی این منطقه به افزایش گازهای گلخانه‌ای مورد بررسی قرار گرفت. در این پژوهش از خروجی سه مدل چرخش عمومی و سناریوی B2 استفاده گردید. نتایج شبیه‌سازی نشان داد که تا پایان قرن ۲۱، بارندگی در بیش‌تر مناطق جنوبی، به میزان ۸/۲ درصد کاهش خواهد یافت.

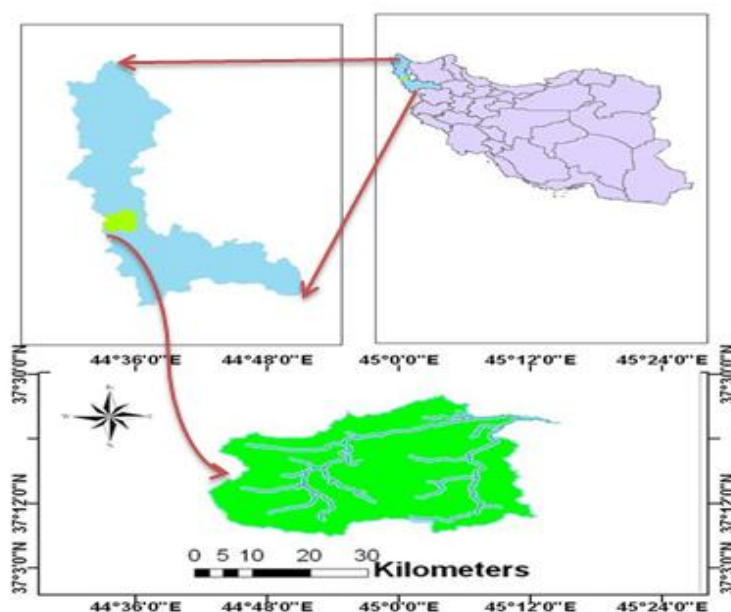
هدف از انجام این مطالعه ارزیابی اثرات تغییر اقلیم بر روند تغییرات دما و بارندگی در دوره‌های آتی تحت تأثیر سناریوهای انتشار گازهای گلخانه‌ای در حوضه آبخیز باراندوزچای استان آذربایجان غربی است. در این پژوهش ابتدا عملکرد مدل LARS-WG در ریزمقیاس‌نمایی داده‌های حاصل از مدل‌های گردش عمومی جو مورد ارزیابی قرار می‌گیرد. سپس اقدام به شبیه‌سازی پارامترهای اقلیمی دما و بارش دوره‌ی آتی تا سال ۲۰۴۰ میلادی با ریزمقیاس‌نمایی داده‌های مدل‌های گردش عمومی جو، تحت دو مدل GCM منتخب برای حوضه‌ی آبخیز باراندوزچای گردیده و در نهایت روند تغییرات پارامترهای اقلیمی دما و بارندگی مورد مطالعه و بررسی قرار می‌گیرد.

18- Lazar and Williams

19- Zhao et al

## منطقه مورد مطالعه

حوضه‌ی آبخیز باراندوزچای در شمال‌غرب کشور بین دریاچه ارومیه و مرز ایران و کشورهای عراق و ترکیه واقع شده است. گستردگی جغرافیایی این حوضه از ۴۴ درجه و ۴۵ دقیقه تا ۴۵ درجه و ۱۴ دقیقه طول شرقی و ۳۷ درجه و ۶ دقیقه تا ۳۷ درجه و ۲۹ دقیقه عرض شمالی است. مساحت حوضه‌ی آبخیز باراندوزچای برابر ۱۰۸۸ کیلومترمربع است. (شکل ۱) وضعیت منطقه و حوضه‌ی آبخیز مورد مطالعه را نشان می‌دهد.



شکل ۱: موقعیت حوضه آبخیز باراندوزچای در استان آذربایجان غربی و ایران

## مدل‌های چرخه عمومی جو

در خصوص مدل‌سازی اقلیمی دوره‌های آتی، روش‌های مختلفی وجود دارد که جامع‌ترین این روش‌ها، مدل‌های گردش عمومی جو<sup>۲۰</sup> (GCM) هستند. مدل‌های GCM قادر به شبیه‌سازی چرخه عمومی جو بوده و می‌توانند برای شبیه‌سازی جو-اقیانوس با مقیاس‌های گوناگون به کار گرفته شوند. هدف این مدل‌ها شبیه‌سازی همه ویژگی‌های سه‌بعدی آب‌وهوا می‌باشد. از این‌رو این مدل‌ها جامع‌ترین مدل‌های جوی برای پیش‌بینی وضعیت آینده می‌باشند. مدل‌های اقلیمی براساس نوع و میزان دقت تقسیم‌بندی می‌گردند. این مدل‌ها از مقیاس‌های کوچک شامل آب‌وهوای یک منطقه تا مقیاس‌های بزرگ شامل تغییرات اقلیم در مقیاس‌های قاره‌ای را شامل می‌شوند. هرچند مدل‌های بزرگ‌مقیاس کلی بوده و نشان‌دهنده تغییرات عمومی می‌باشند، اما استفاده از مدل‌های در مقیاس کوچک برای کاربردهای منطقه‌ای و تبدیل نتایج مدل‌های GCM به پدیده‌های منطقه‌ای لازم است. یکی از مهم‌ترین چالش‌ها در مطالعات مربوط به مدل‌های گردش عمومی جو، بزرگ‌مقیاس بودن مکانی متغیرهای شبیه‌سازی شده است. لذا

خروجی‌های حاصل از این مدل‌ها، در مقیاس ایستگاهی و حتی حوضه آبخیز قابل استفاده نیستند. بنابراین لازم است که خروجی‌های این مدل‌ها ریزمقیاس گردند. ریزمقیاس‌نمایی داده‌های حاصل از مدل‌های گردش عمومی جو معمولاً به دو روش آماری و دینامیکی صورت می‌گیرد (بابائیان و همکاران، ۱۳۸۶). روش‌های دینامیکی جزء روش‌های هزینه‌بر بوده و نیاز به سامانه‌های پردازش موازی دارند. معتبرترین روش دینامیکی-آماری است. در این روش ابتدا برونداد مدل گردش عمومی به روش دینامیکی ریزمقیاس می‌شود سپس خروجی‌ها به روش‌های آماری واسنجی و اصلاح می‌شوند.

#### سناریوهای انتشار گازهای گلخانه‌ای

گازهای عمده در جو زمین شامل دی‌اکسید کربن، متان و بخار آب، نقش طبیعی را در حفظ گرمای جو زمین ایفاء می‌کنند. انرژی خورشیدی که وارد جو زمین می‌گردد، غالب آن مجدداً از سطح زمین و اقیانوس‌ها بازتابش می‌یابد. گازهای گلخانه‌ای مقداری از گرما را گرفته و مانع خروج آن از جو می‌شود. این مسأله باعث می‌شود دمای سطح زمین به شکل معقولی در یک دوره طولانی‌مدت افزایش یابد. با توجه به عدم قطعیت دوره‌های آینده، سناریوهای زیادی برای انتشار گازهای گلخانه‌ای و رشد اقتصاد و جمعیت در دوره‌های آتی در نظر گرفته می‌شود. خصوصیات سناریوهای انتشار گازهای گلخانه‌ای مورد استفاده در این مطالعه در (جدول ۱) آورده شده است.

جدول ۱- خصوصیات سناریوهای انتشار A1B، A2 و B1 (<http://climate.mihanblog.com>)

ویژگی	سناریوی انتشار
رشد سریع اقتصادی، بیشینه رشد جمعیت در نیمه قرن و پس از آن روند کاهشی، رشد سریع فناوری‌های نوین و مؤثر	A1B
رشد سریع جمعیت جهان، اقتصاد ناهمگن و همسو با شرایط منطقه‌ای در سراسر جهان،	A2
همگرایی جمعیت در سطح جهان، تغییر در ساختار اقتصاد، کاهش مواد آلاینده و معرفی منابع فناوری پاک و مؤثر	B1

#### معرفی مدل LARS- WG

الگوی LARS-WG یکی از روش‌های آماری ریزگردانی جهت شبیه‌سازی داده‌های روزانه بارش، تابش، بیشینه و کمینه دمای یک ایستگاه از داده‌های مدل‌های GCM است. ابتدا داده‌ها باید در سطح نقطه و یا حوضه آبخیز ریزمقیاس گردند. الگوهای مصنوعی مولد پارامترهای هواشناسی الگوهای عددی هستند که خروجی الگوهای گردش عمومی جو را با استفاده از روش‌های آماری به نحوی ریزگردانی می‌کنند که به مقدار واقعی در مقیاس ایستگاهی بسیار شباهت دارد. در این مدل (LARS-WG) از توزیع‌های آماری نیمه‌تجربی استفاده شده است که برآورد دما براساس سری‌های فورینه انجام می‌گیرد و دمای بیشینه و کمینه روزانه به‌صورت فرآیندهای تصادفی با میانگین و انحراف معیارهای روزانه که به وضعیت‌تر یا خشک روز مورد نظر وابسته‌اند، الگوسازی می‌شود. سری

فورینه مرتبه سوم برای شبیه‌سازی میانگین و انحراف معیار درجه حرارت‌های فصلی به کار می‌رود (سیمونو<sup>۲۱</sup> و همکاران، ۱۹۹۸). به دلیل نبود ایستگاه سینوپتیک در داخل حوضه آبخیز باراندوزچای، در این مطالعه از میانگین وزنی داده‌های دو ایستگاه سینوپتیک ارومیه و پیرانشهر برای مطالعه حوضه آبخیز باراندوزچای استفاده می‌گردد. ابتدا با استفاده از روش وزنی و زنده‌ی، بین خروجی ۹ مدل گردش عمومی جو مورد استفاده در این مطالعه (از سال ۱۹۹۰ تا سال ۲۰۰۹ میلادی) و داده‌های دیدبانی دوره پایه (از سال ۱۹۹۰ تا سال ۲۰۰۹ میلادی)، دو مدل که بیش‌ترین ضریب وزنی را دارند، (بیش‌ترین مطابقت را با دوره گذشته داشتند) انتخاب گردیده و برای شبیه‌سازی دوره آتی از خروجی آن‌ها استفاده می‌گردد. سپس اقدام به ارزیابی عملکرد مدل LARS-WG برای تولید پارامترهای اقلیمی مورد مطالعه می‌گردد. پس از اطمینان از دقت عملکرد مدل، اقدام به تولید سری‌های زمانی روزانه پارامترهای اقلیمی دوره آتی با استفاده از سناریوهای مختلف دو مدل برتر می‌گردد. در نهایت روند تغییرات دما و بارندگی در دوره آتی نسبت به دوره پایه ارزیابی می‌گردد.

#### یافته‌ها و بحث

در این مطالعه، چون هیچ ایستگاه سینوپتیکی در داخل حوضه‌ی مورد مطالعه وجود نداشت، لذا به اجبار از ایستگاه‌های اطراف حوضه استفاده گردید. بدین صورت که با استفاده از روش تیسن پلیگون، ابتدا تأثیر هر یک از ایستگاه‌های سینوپتیک ارومیه، مهاباد و پیرانشهر را بر روی حوضه‌ی آبخیز باراندوزچای به دست آوردیم. فاصله‌ی حوضه‌ی آبخیز مورد مطالعه با ایستگاه سینوپتیک ارومیه ۲۲ کیلومتر، با ایستگاه پیرانشهر ۵۱ کیلومتر و با ایستگاه مهاباد ۶۳ کیلومتر است. با توجه به تیسن مربوط بین سه تا ایستگاه، ایستگاه مهاباد به دلیل فاصله زیاد با حوضه‌ی باراندوزچای، نمی‌تواند تأثیری بر روی میانگین وزنی پارامترهای هواشناسی حوضه‌ی آبخیز داشته باشد. ایستگاه ارومیه به دلیل نزدیکی، بیش‌ترین تأثیر با ضریب ۰/۸۹ و ایستگاه پیرانشهر تأثیر ۰/۱۱ را در میانگین وزنی دارا می‌باشند. پارامترهای هواشناسی مربوط به دو ایستگاه با استفاده از رابطه‌ی ۱ به دست آمده و برای ورود به مدل LARS-WG آماده گردید.

$$W = \frac{(P_A S_A + P_B S_B)}{S_T} \quad \text{رابطه (۱)}$$

که در آن  $P_A$  و  $P_B$  به ترتیب ضرایب وزنی ایستگاه‌های ارومیه و پیرانشهر و  $S_A$  و  $S_B$  مساحت مربوط به ایستگاه ارومیه و پیرانشهر هستند.  $S_T$  مساحت کل حوضه می‌باشد. مقادیر مربوط به  $P_A$  و  $P_B$  به ترتیب برابر با ۰/۸۹ و ۰/۱۱ در نظر گرفته می‌شود. مقدار  $S_T$  هم برابر یک است.  $W$  وزن نهایی پارامتر اقلیمی مربوط به حوضه‌ی آبخیز باراندوزچای جهت استفاده در مدل LARS-WG می‌باشد. ناگفته نماند این روش ممکن است موجب تعدیل بارش‌های حدی در حوزه باراندوزچای گردد چرا که هرگونه میانگین‌گیری بارش چنین تبعاتی را در رفتار بارش

حوضه خواهد داشت. باتوجه به عدم قطعیت مطالعات تغییر اقلیم و خروجی حاصل از مدل‌های GCM مختلف، انتخاب بهترین مدل GCM ای که با منطقه سازگار است، برای کاهش عدم قطعیت ضروری است. در این مطالعه برای انتخاب بهترین مدل GCM، از بین ۹ مدل بررسی شده موجود در جدول ۱، ابتدا با استفاده از روش وزنی بین خروجی مدل‌های GCM و داده‌های مشاهداتی دوره‌ی پایه برای حوضه آبخیز باراندوزچای (از سال ۱۹۹۰ تا سال ۲۰۰۹)، دو مدل که بیش‌ترین وزن را دارند، انتخاب می‌شوند. با توجه به ضرایب وزنی مدل‌های مورد مطالعه که با استفاده از رابطه ۲ به دست می‌آید و مقایسه آن‌ها با یکدیگر مشاهده می‌گردد که مدل‌های CNRMCM3 و IPSLCM4 دارای بیش‌ترین ضرایب وزنی هستند. یعنی با توجه به داده‌های دوره دیدبانی و خروجی حاصل از مدل‌های GCM مختلف برای همین دوره که در سایت محیط‌زیست کشور کانادا برای این منطقه و دوره زمانی مورد نظر موجود است، این دو مدل دارای بیش‌ترین شباهت و نزدیکی با گذشته‌ی حوضه آبخیز باراندوزچای می‌باشند و لذا در این مطالعه از این دو مدل برای مطالعات دوره آتی و کاهش عدم قطعیت استفاده می‌گردد. مدل CNRMCM3 دارای دو سناریوی A1B و A2 و مدل IPSLCM4 دارای سه سناریوی A1B، A2 و B1 در نرم‌افزار LARS-WG هستند.

$$\text{رابطه‌ی (۲)} \quad \frac{1}{\text{ABS}(\Delta T(\text{GCM}))}$$

رابطه (۲) بیانگر عکس قدر مطلق اختلاف مقادیر پارامترهای اقلیمی مشاهده شده در ایستگاه مورد مطالعه، با مقادیر به دست آمده از مدل‌های GCM مختلف برای منطقه مورد مطالعه در دوره‌ی پایه ۱۹۹۰ تا ۲۰۰۹ میلادی می‌باشد. که در نهایت مقادیر به دست آمده، برای مدل‌های مختلف و به ازاء تمام سال‌ها را باهم جمع نموده و فراوانی نسبی برای هر سال به دست می‌آید که با میانگین‌گیری از آن به ازاء تمام سال‌ها، وزن هر مدل به دست می‌آید. (جدول ۲) نتایج حاصل از وزن ۹ مدل GCM و انتخاب بهترین مدل برای مطالعات اقلیمی در حوضه‌ی آبخیز باراندوزچای را نشان می‌دهد.

جدول ۲- ضرایب وزنی مدل‌های GCM مورد مطالعه برای حوضه‌ی آبخیز باراندوزچای

نوع مدل	ضریب وزنی
BCM2	۰/۰۶۱۸
CNRMCM3	۰/۰۴۴۵۱
FGOALS	۰/۱۶۶۰
GFDLCM2.1	۰/۱۰۶۴
HADCM3	۰/۰۳۷۵
HADGEM	۰/۰۷۴۴
IPSLCM4	۰/۰۲۴۶۹
ECHO-G	۰/۱۵۱۵
NCARPCM	۰/۰۷۴۲



## ارزیابی عملکرد مدل LARS-WG

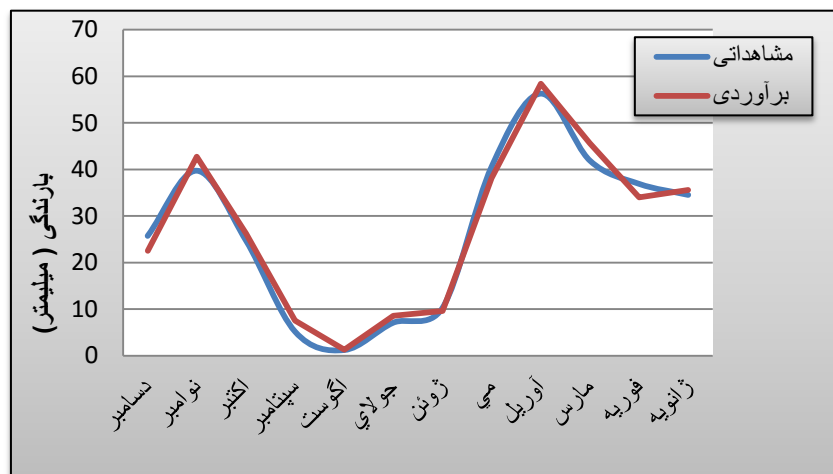
این مدل از سه بخش واسنجی، ارزیابی و تولید داده‌های هواشناسی دهه‌های آتی تشکیل گردیده است. در مرحله‌ی ارزیابی و عملکرد مدل با استفاده از آماره‌های ضریب تبیین ( $R^2$ )، میانگین مربعات خطا (RMSE) و میانگین خطای مطلق (MAE) که به ترتیب به صورت روابط ۳ و ۴ و ۵ می‌باشند، اقدام به ارزیابی عملکرد مدل در دوره‌ی پایه گردید. نتایج ارزیابی مدل LARS-WG در (جدول ۴) آمده است.

$$R^2 = \frac{[\sum_{i=1}^n (X_i - \bar{X})(Y_i - \bar{Y})]^2}{\sum_{i=1}^n (X_i - \bar{X})^2 \sum_{i=1}^n (Y_i - \bar{Y})^2} \quad \text{رابطه‌ی (۳)}$$

$$RMSE = \sqrt{\frac{\sum_{i=1}^n (X_i - Y_i)^2}{n}} \quad \text{رابطه‌ی (۴)}$$

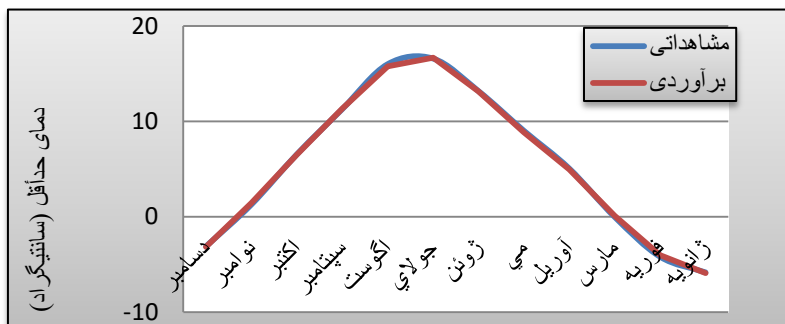
$$MAE = \frac{\sum_{i=1}^n |X_i - Y_i|}{n} \quad \text{رابطه‌ی (۵)}$$

در این روابط  $X_i$  و  $Y_i$  به ترتیب آیین داده واقعی (مشاهده شده) و شبیه‌سازی شده (توسط مدل)،  $\bar{X}$  و  $\bar{Y}$  میانگین کل داده‌های  $X_i$  و  $Y_i$ ، و  $n$  تعداد کل نمونه‌های مورد ارزیابی می‌باشند. نتایج حاصل از مقایسه میانگین‌های دو جامعه (داده‌های مشاهداتی و شبیه‌سازی شده) با آزمون T بیانگر عملکرد قابل قبول مدل است (در سطح معنی‌داری ۰/۹۵ درصد). نتایج حاصل از عملکرد مدل LARS-WG در مقایسه میانگین‌های ماهانه در شبیه‌سازی فرآیند بارش در (شکل ۲) قابل مشاهده است. همچنین نتایج گرافیکی مقایسه میانگین‌ها، ناشی از عملکرد مدل LARS-WG در شبیه‌سازی دمای حداقل و حداکثر ماهانه به ترتیب در (اشکال ۳ و ۴) نشان داده شده است.

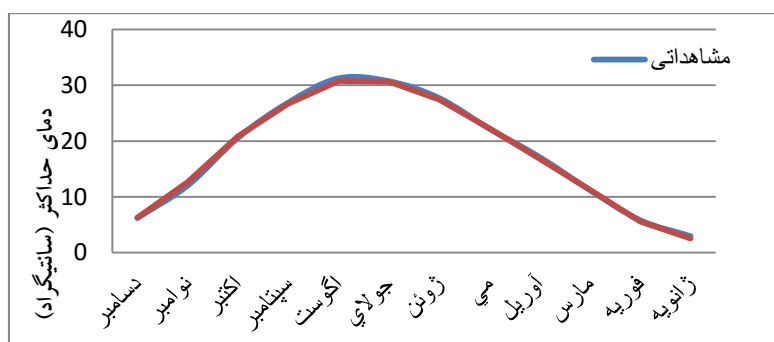


شکل ۲: ارزیابی عملکرد مدل LARS-WG در شبیه‌سازی میانگین‌های بارندگی

(شکل ۲) عملکرد مدل LARS-WG را در شبیه‌سازی فرآیند بارش نشان می‌دهد.



شکل ۳: ارزیابی عملکرد مدل LARS-WG در شبیه‌سازی میانگین‌های دمای حداقل



شکل ۴: ارزیابی عملکرد مدل LARS-WG در شبیه‌سازی میانگین‌های دمای حداکثر

جدول ۳- ارزیابی معنی‌داری مدل LARS-WG در میانگین ماهانه پارامترهای اقلیمی با استفاده از آزمون T در سطح اطمینان ۹۵ درصد در

شبیه‌سازی پارامترهای اقلیمی

ماه	بارندگی	دمای حداقل	دمای حداکثر
ژانویه	۰/۴۳۱	۰/۸۵۴	۰/۱۳۳
فوریه	۰/۹۶	۰/۸۸۹	۰/۲۷۴
مارس	۰/۸۶۹	۰/۶۴۳	۰/۷۹۹
آوریل	۰/۵۷۵	۰/۸۵۳	۰/۹۷۹
می	۰/۴۱۶	۰/۳۸	۰/۷۹۵
ژوئن	۰/۴۴۹	۰/۹۵۹	۰/۲۴۸
جولای	۰/۸۷۲	۰/۹۳۷	۰/۵۳۷
اگوست	۰/۳۴۹	۰/۱۱۹	۰/۰۷۸
سپتامبر	۰/۷۵۹	۰/۹۶۲	۰/۵۴۴
اکتبر	۰/۵۱۳	۰/۵۹۱	۰/۶۷۶
نوامبر	۰/۶۴۹	۰/۵۴۵	۰/۰۹۹
دسامبر	۰/۷۹۱	۰/۶۴۹	۰/۵۶۵

با توجه به نتایج حاصل از (جدول ۳)، برای تمام ماه‌ها در سطح اطمینان ۹۵ درصد، مقادیر Pvalue به دست آمده بیش‌تر از  $\alpha=0.05$  می‌باشند. لذا بین میانگین‌ها اختلاف معنی‌داری وجود ندارد. این نتایج عملکرد بسیار خوب مدل LARS-WG را در شبیه‌سازی پارامترهای اقلیمی نشان می‌دهد.

جدول ۴- نتایج حاصل از ارزیابی و صحت‌سنجی عملکرد مدل LARS-WG برای حوضه آبخیز باراندوزچای

ضرایب عملکرد	دمای حداقل	دمای حداکثر	بارندگی
R <sup>2</sup>	۰/۹۹	۰/۹۹	۰/۹۴
RMSE	۰/۱۲۱	۰/۳	۳/۳۱
MAE	۰/۱۰۵	۰/۲۵	۲/۴۷

همان‌گونه که در (جدول ۴) مشاهده می‌گردد، مدل ریزمقیاس نمایی LARS-WG در شبیه‌سازی داده‌های دمایی و بارندگی در منطقه‌ی مورد مطالعه دارای دقت بالایی است. نتایج حاصل از آزمون اسمیرنوف-کولموگروف در سطح معنی‌داری ۹۵ درصد نیز حاکی از عملکرد خوب این مدل در منطقه‌ی مورد مطالعه بود. نتایج گرافیکی مقایسه میانگین‌های ماهانه همان‌گونه که در (اشکال ۲ و ۳ و ۴) نشان داده شده است، نشان‌دهنده عملکرد خوب مدل در شبیه‌سازی پارامترهای اقلیمی است.

مدل LARS-WG دارای سه دوره زمانی پیش‌بینی برای آینده است. اولین دوره پیش فرض مدل‌سازی دوره آتی در این مدل از سال ۲۰۱۱ تا سال ۲۰۳۰ میلادی است. در این مطالعه پیش‌بینی با استفاده از دوره پیش فرض (۲۰۱۱-۲۰۳۰) و به تعداد ۳۰ انجام گردید. در واقع در مرحله‌ی بعدی اقدام به تولید داده‌های اقلیمی برای دوره آینده (از سال ۲۰۱۱ تا سال ۲۰۴۰) می‌گردد.

(جدول ۵ و ۶) میانگین تغییرات دمای حداقل و حداکثر دوره پایه (۱۹۹۰ تا ۲۰۰۹ میلادی) نسبت به دوره آتی را (۲۰۱۱ تا ۲۰۴۰ میلادی) نشان می‌دهند. با توجه به نتایج حاصل از (جدول ۵)، تغییرات دمای حداقل ماهانه در خوشبینانه‌ترین سناریو نیز روند افزایشی دارد. در مجموع تحت سناریوی A1B مدل CNRMCM3، تغییرات دمای حداقل بیش‌ترین افزایش را از خود نشان می‌دهد. تغییرات دمای حداکثر ماهانه در اکثر ماه‌ها و سناریوها مثبت بوده و در مجموع بیش‌ترین افزایش در تغییرات میانگین دمای حداکثر ماهانه مربوط به سناریوی A1B مدل IPSLCM4 است.

در (جدول ۷) تغییرات بارش ماهانه دوره‌ی پایه نسبت به دوره‌ی آتی در حوضه‌ی آبخیز باراندوزچای مشاهده می‌گردد. در مجموع بیش‌ترین افزایش در میزان میانگین بارندگی‌های دوره آتی، تحت سناریوی A2 مدل CNRMCM3 مشاهده می‌گردد.

جدول ۵- تغییرات دمای حداقل ماهانه دوره‌ی آتی (۲۰۱۱-۲۰۴۰) نسبت به دوره‌ی پایه (۱۹۹۲-۲۰۰۹) در حوضه‌ی آبخیز باراندوزچای برحسب درجه سانتی‌گراد

ماه	مدل CNRMCM3		مدل IPSLCM4	
	سناریوی A1B	سناریوی A2	سناریوی A1B	سناریوی A2
ژانویه	۰/۱۴	۰/۵	۰/۷۴	۰/۳۹
فوریه	۰/۷۱	۲/۴۹	۱/۱۲	۰/۵۵
مارس	۰/۹	۰/۹۱	۰/۹۱	۰/۴۷
آوریل	۰/۸۷	۰/۸۴	۰/۵۹	۰/۳۴
می	۱/۳۴	۰/۷۴	۰/۳۴	۰/۳۸
ژوئن	۵/۹	۰/۷۱	۰/۳۹	۰/۶۷
جولای	۰/۸۳	۰/۶۹	۰/۶۴	۰/۹۸
اگوست	۰/۶۳	۰/۵	۰/۵۸	-۰/۳۹
سپتامبر	۰/۸۴	۰/۸۳	۰/۸۶	۰/۷۹
اکتبر	۰/۵۲	۰/۶۴	۰/۷	۰/۴۹
نوامبر	۰/۶۳	۰/۹۱	۰/۹۹	۰/۷۸
دسامبر	۰/۱۳	۰/۵	۰/۶۶	۰/۳۷

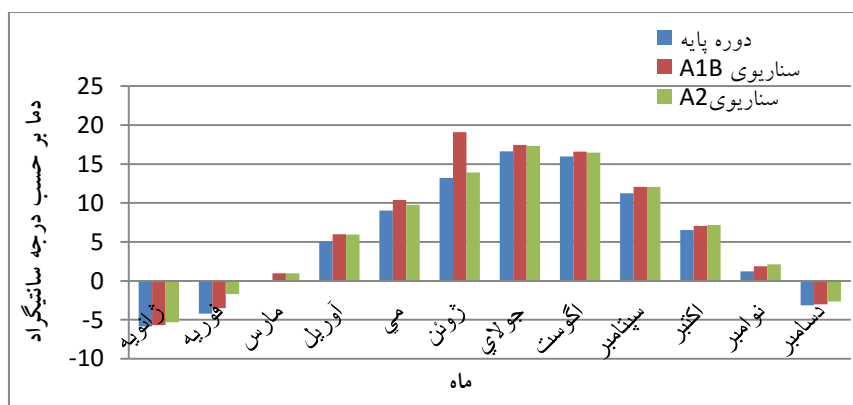
جدول ۶- تغییرات دمای حداکثر ماهانه دوره‌ی آتی (۲۰۱۱-۲۰۴۰) نسبت به دوره‌ی پایه (۱۹۹۲-۲۰۰۹) در حوضه‌ی آبخیز باراندوزچای برحسب درجه سانتی‌گراد

ماه	مدل CNRMCM3		مدل IPSLCM4	
	سناریوی A1B	سناریوی A2	سناریوی A1B	سناریوی A2
ژانویه	-۰/۱۸	۰/۱۸	۰/۴۲	۰/۰۷
فوریه	۰/۲۵	۰/۱۸	۰/۶۶	۰/۲۳
مارس	۰/۷	۰/۷۱	۰/۷۱	۰/۲۶
آوریل	۰/۷۳	۰/۷	۰/۴۴	۰/۱۳
می	۰/۹۹	۰/۹۵	۰/۵۵	۰/۶۴
ژوئن	-۴/۸۵	۰/۵۱	۰/۱۷	۰/۵۲
جولای	۰/۶۴	۰/۴	۰/۳۶	۰/۶۲
اگوست	۰/۲۵	۰/۱۹	۰/۲۴	-۰/۷۳
سپتامبر	۰/۴۳	۰/۴۳	۰/۴۶	۰/۳۸
اکتبر	۰/۹۸	۱/۱	۱/۱۶	۰/۹۴
نوامبر	۱/۱۷	۱/۴۵	۱/۵۳	۱/۲۳
دسامبر	۰/۲۹	۰/۶۸	۰/۸۳	۰/۵۲

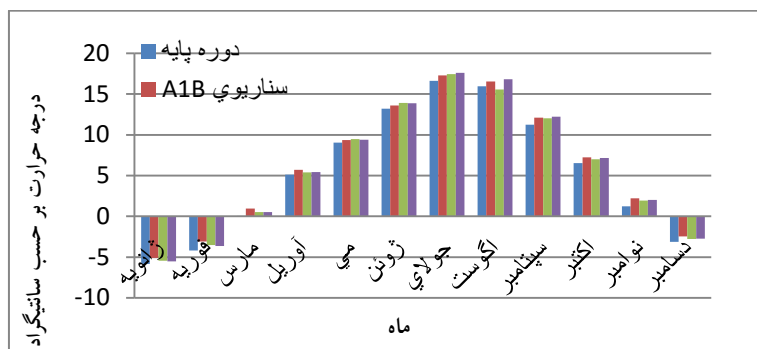
جدول ۷- تغییرات بارش ماهانه دوره‌ی آتی (۲۰۱۱-۲۰۴۰) نسبت به دوره‌ی پایه (۱۹۹۲-۲۰۰۹) در حوضه‌ی آبخیز باراندوزچای برحسب میلی‌متر

ماه	مدل IPSLCM4			مدل CNRMCM3	
	سناریوی B1	سناریوی A2	سناریوی A1B	سناریوی A2	سناریوی A1B
ژانویه	-۱/۷۵	-۰/۸۵	-۲/۹۴	-۱/۶	-۴/۱۷
فوریه	-۴/۲۲	-۳/۲	-۵/۲۳	-۵/۷۶	-۷/۵۶
مارس	۵/۸۹	۷/۹۸	۴/۹۷	۴/۵۳	۲/۵۳
آوریل	۱/۸۲	۲/۷۷	۱/۲۳	۳/۱۴	-۳/۰۷
می	-۸/۵۷	-۱۰/۵۱	-۸/۲۱	-۷/۸۹	-۱۰/۷
ژوئن	۰/۳۲	-۰/۳۸	۰/۹۸	۱/۸۴	۰/۹۵
جولای	۰/۷۱	۱/۶۹	۱/۷۲	۱/۹۸	۲/۵۲
اگوست	-۰/۲	-۰/۰۶	-۰/۱۲	-۰/۰۹	-۰/۰۱
سپتامبر	۲/۴۱	۲/۴۸	۲/۱۵	۴/۰۲	۳/۱۲
اکتبر	۳/۸۴	۳/۴۴	۲/۲۴	۱۱/۴۲	۶/۱۶
نوامبر	۶/۳۲	۶/۸	۵/۷۴	۲۲/۲۹	۱۴/۶۱
دسامبر	-۳/۸۳	۱/۵۵	-۳/۹۸	۰/۵	-۲/۱۲

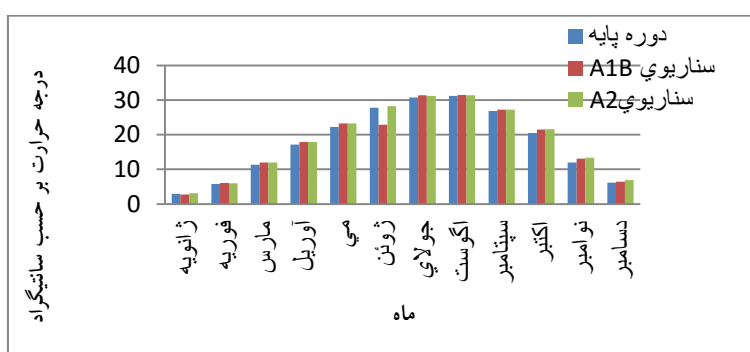
با توجه به نتایج به‌دست آمده از (جداول ۵ تا ۷) ، در دوره آتی افزایش دمای هوا در فصول پاییز و زمستان نسبت به بهار و تابستان بیش‌تر می‌گردد و این افزایش می‌تواند تا نزدیک ۱ درجه سانتی‌گراد باشد. تغییرات بارش ماهانه (دوره‌ی پایه نسبت به دوره‌ی آتی) در ماه‌های ژانویه، فوریه، می، اگوست و دسامبر تحت مدل CNRMCM3 و دو سناریوی A1B و A2 و مدل IPSLCM4، تحت سه سناریوی A1B و A2 و B1 منفی خواهد بود. یعنی در دوره‌ی آتی در این ماه‌ها میزان بارندگی کاهش خواهد یافت و این کاهش تحت سناریوی A1B در دو مدل مذکور و ماه می بیش‌تر از سایر ماه‌ها می‌باشد. (اشکال ۵ تا ۱۰)، میانگین‌های ماهانه دمای حداقل، دمای حداکثر و بارندگی دوره گذشته (پایه) نسبت به دوره آینده را برای تمام ماه‌ها نشان می‌دهند. همچنین میزان تغییرات ناشی از تأثیر تغییر اقلیم بر پارامترهای مذکور، تحت تأثیر تغییر اقلیم نشان داده شده است.



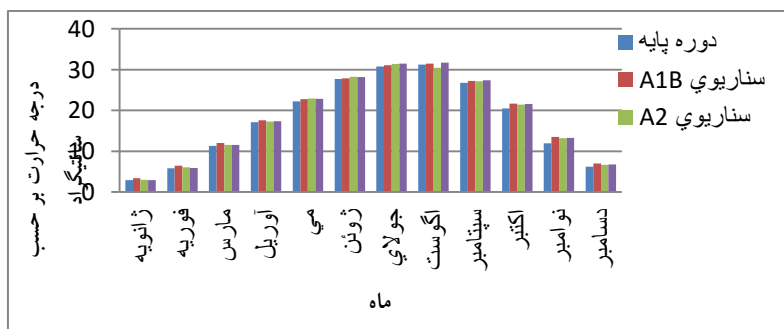
شکل ۵: میانگین دمای حداقل دوره‌ی پایه (۱۹۹۲-۲۰۰۹) و مدل CNRMCM3 تحت تأثیر دو سناریوی A1B و A2



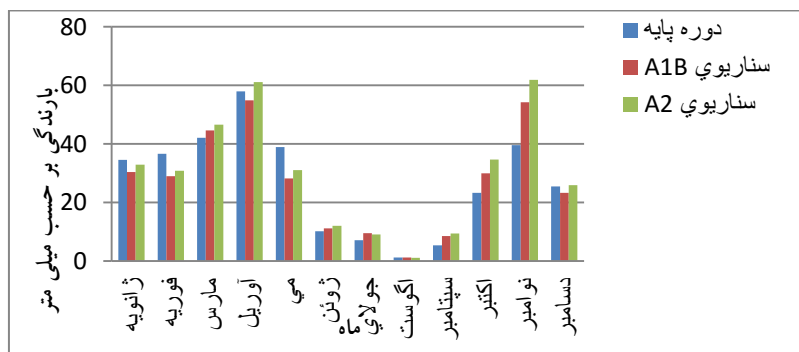
شکل ۶: میانگین دمای حداقل دوره‌ی پایه (۱۹۹۲-۲۰۰۹) و مدل IPSLCM4 تحت تاثیر سه سناریوی A1B و A2 و B1



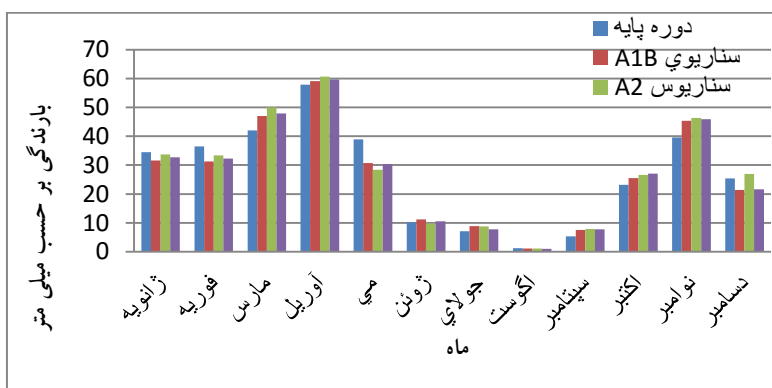
شکل ۷: میانگین دمای حداکثر دوره‌ی پایه (۱۹۹۲-۲۰۰۹) و مدل CNRMCM3 تحت تاثیر دو سناریوی A1B و A2



شکل ۸: میانگین دمای حداقل دوره‌ی پایه (۱۹۹۲-۲۰۰۹) و مدل IPSLCM4 تحت تاثیر سه سناریوی A1B و A2 و B1



شکل ۹: میانگین بارندگی دوره‌ی پایه (۱۹۹۲-۲۰۰۹) و مدل CNRMCM3 تحت تاثیر دو سناریوی A1B و A2



شکل ۱۰: میانگین بارش دوره‌ی پایه (۱۹۹۲-۲۰۰۹) و مدل IPSLCM4 تحت تاثیر سه سناریوی A1B و A2 و B1

### نتیجه‌گیری

با توجه به نتایج حاصل از این پژوهش، تغییرات دمای حداقل و حداکثر دوره‌ی پایه نسبت به دوره‌ی آتی در حوضه‌ی آبخیز باراندوزچای در تمام ماه‌ها و سناریوهای دو مدل CNRMCM3 و IPSLCM4 مثبت است. بدین معنی که دماهای حداقل و حداکثر در دوره‌ی آتی نسبت به دوره‌ی پایه افزایش خواهد یافت. به‌طوری که این تغییرات در ماه نوامبر بیش‌ترین مقدار خواهد بود. با توجه به نتایج به‌دست آمده از این مطالعه می‌توان به این نتیجه رسید که در دوره آتی افزایش دمای هوا در فصول پاییز و زمستان نسبت به بهار و تابستان بیش‌تر می‌گردد و این افزایش می‌تواند تا نزدیک ۱ درجه سانتی‌گراد باشد. تغییرات بارش ماهانه (دوره‌ی پایه نسبت به دوره‌ی آتی) در ماه‌های ژانویه، فوریه، می، اگوست و دسامبر تحت مدل CNRMCM3 و دو سناریوی A1B و A2 و مدل IPSLCM4، تحت تأثیر سه سناریوی A1B و A2 و B1 منفی خواهد بود. یعنی در دوره‌ی آتی در این ماه‌ها میزان بارندگی کاهش خواهد یافت و این کاهش تحت سناریوی A1B در دو مدل مذکور و ماه می بیش‌تر از سایر ماه‌ها می‌باشد. در ماه‌های مارس، ژوئن، جولای، سپتامبر و اکتبر میزان تغییرات مثبت می‌باشد. یعنی میانگین بارندگی در این ماه‌ها نسبت به دوره‌ی پایه افزایش خواهد یافت. آنچه که مسلم است این است که میانگین سالانه بارندگی تحت تمام سناریوهای دو مدل مورد مطالعه افزایش خواهد یافت، به‌طوری که میانگین سالانه دوره‌ی پایه ۲۸۷/۳۷ میلی‌متر است و این میزان برای دوره‌ی آتی و دو سناریوی A1B و A2 مدل CNRMCM3 به‌ترتیب برابر ۳۲۴/۵۵ و ۳۵۶/۲۸ میلی‌متر و برای سه سناریوی A1B و A2 و B1 مدل IPSLCM4 به‌ترتیب برابر با ۳۲۰/۴۴ و ۳۳۳/۶ و ۳۲۴/۶۳ میلی‌متر خواهد بود که بیش‌ترین افزایش را سناریوی A2 مدل CNRMCM3 با میزان ۶۸/۹۱ میلی‌متر (۲۴ درصد) نسبت به دوره‌ی پایه خواهد داشت. از طرف دیگر افزایش دما در فصول رویش گیاهی (فصول بهار و تابستان) می‌تواند تأثیرات منفی زیادی بر روی چرخه رویش نباتی و کشاورزی منطقه بگذارد و چرخه خواب درختان و رویش گیاهی را مختل نماید. علاوه بر این با افزایش دما، میزان تبخیر و تعرق بیش‌تر شده و نیاز آبی موجودات زنده بیش‌تر می‌گردد و این مسأله می‌تواند کل اکوسیستم طبیعی را مختل نموده و هرگونه افزایش بارشی

را کم اثر نماید. همان‌گونه که مشاهده می‌گردد در فصل بهار میزان بارندگی‌ها کاهش قابل‌توجهی خواهد دارد. با توجه به روند تغییرات دما در دوره‌های آتی و گرم شدن فصل زمستان و پاییز، آنچه که می‌تواند اهمیت زیادی داشته باشد، تغییر الگوی بارش است. به‌طوری‌که رژیم بارش در فصل زمستان در حوضه‌ی آبخیز مورد مطالعه که بیشتر به‌صورت برفی است و به‌عنوان منبع ذخیره‌ای مناسبی برای آب‌های زیرزمینی منطقه می‌باشد، به‌دلیل افزایش دما تغییر نموده و به بارن تبدیل می‌گردد که نیازمند مطالعات بیش‌تر و دقیق‌تری در این زمینه می‌باشد ولی آنچه که مسلم است تغذیه منابع آب‌های زیرزمینی عمدتاً از طریق ذوب تدریجی برف انجام می‌شود تا باران. از طرف دیگر با کاهش قابل توجه میزان بارندگی در فصل رویش گیاهی و به خصوص بهار این مشکل حادث‌تر می‌گردد. با توجه به نتایج حاصل از این پژوهش، در کل برای فصول تابستان و پاییز افزایش میزان بارندگی‌ها پیش‌بینی می‌گردد. هر چند افزایش بارندگی در سناریوهای مورد مطالعه این مدل‌ها مشاهده می‌گردد ولی افزایش دما می‌تواند این افزایش بارندگی را با افزایش میزان تبخیر و تعرق و افزایش نیاز آبی گیاهان خنثی نماید. نظر بر اهمیت پدیده‌ی تغییرات اقلیم و غیرقابل انکار بودن این پدیده در دوره‌های آتی، لزوم برنامه‌ریزی جامع و کاربردی برای حفظ اکوسیستم حوضه‌ی آبخیز مورد مطالعه ضروری است. با توجه به این‌که رودخانه باراندوزچای یکی از رودخانه‌های مهم تغذیه‌کننده دریاچه ارومیه است و نظر بر بحران دریاچه ارومیه و اهمیت استراتژیک این حوضه‌ی آبخیز، مدیریت منابع آب این حوضه بیش از پیش ضروری می‌باشد. لذا توصیه می‌گردد که جهت مدیریت صحیح و اصولی برای توسعه پایدار منطقه، اقدامات مدیریتی مناسبی جهت حفاظت از منابع آب‌و‌خاک در دوره‌های آتی صورت پذیرد.



## منابع

- اشرف، ب؛ موسوی بایگی، م؛ کمالی، غ؛ داودی، ک (۱۳۹۰)، «بررسی روند تغییر پارامترهای اقلیمی مشهد در دوره ۲۰۱۱ تا ۲۰۳۰ با استفاده از داده‌های شبیه‌سازی توسط مدل LARS-WG»، مجموعه مقالات نخستین کنفرانس ملی هواشناسی و مدیریت آب کشاورزی، پردیس کشاورزی و منابع طبیعی تهران، صص ۱۲۹-۱۲۳.
- بابائیان، ا؛ نجفی‌نیک، ز؛ حبیبی نوخندان، م؛ زابل عباسی، ف؛ ادب، ح؛ ملبوسی، ش (۱۳۸۶)، «مدل‌سازی اقلیم ایران در دوره‌ی ۲۰۳۹-۲۰۱۰ با استفاده از ریزمقیاس‌نمایی آماری خروجی مدل ECHO-G»، کارگاه فنی اثرات تغییر اقلیم بر مدیریت منابع آب.
- عباسی، ف؛ لبوسی، ش؛ بابائیان، ا؛ اثمی، م؛ برهانی، ر (۱۳۸۹)، «پیش‌بینی تغییرات اقلیمی خراسان جنوبی در دوره‌ی ۲۰۳۹-۲۰۱۰ میلادی با استفاده از ریزمقیاس‌نمایی آماری خروجی مدل ECHO-G»، نشریه آب‌و‌خاک (علوم و صنایع کشاورزی)، شماره ۲، صص ۲۳۳-۲۱۸.
- محمدی، ح؛ تقوی، ف (۱۳۸۴)، «روند شاخص‌های حدی دما و بارش در تهران»، پژوهش‌های جغرافیایی، شماره ۵۳، صص ۱۷۲-۱۵۱.
- مهدی‌زاده، ص؛ مفتاح حلقی، م؛ قاسمی، س؛ مساعدی، ا (۱۳۹۰)، «بررسی تأثیر تغییر اقلیم بر میزان بارش در حوضه سد گلستان»، مجله پژوهش‌های حفاظت آب‌و‌خاک، شماره ۱۸، صص ۱۷-۱.
- Karamouz, M., Fallahi, M., Nazif, S., Rahimi Farahani, M., (2009), "Long Lead rainfall prediction using statistical downscaling and artificial neural network modeling", *Journal of Sharif University of Technology*, 16: 165-171.
- "Climate change in Western ski areas: Potential changes in the timing of wet avalanches and snow quality for the Aspen ski area in the years 2030 and 2100, *Cold Regions Science and Technology*, 51: 219-228.
- Andrew, R. L., Damon, M. H., (2009), "Climate engineering and the risk of rapid climate change", *Environmental Research Letters*, 4 [on line]: <http://climate.mihanblog.com>, (October-December) 1/4/2009.
- Elshamy, M. E., Wheater., H. S., Gedney, N., Hunting C., (2005), "Evaluation of the rainfall component of weather generator for climate change studies", *Journal of Hydrology*, 326:1-24.
- IPCC., (2007), "Summary for Policymakers", in: Solomon, S., Qin, D., M., Manning, Chen, Z., Marquis, M., Averyt, K. B., Tignor, M., Miller, H., (eds.) *Climate Change: The Physical Science Basis, Contribution of Working Group I to the Fourth Assessment Report of the Intergovernmental*, Core Writing Team, Pachauri, R. K. and Reisinger, A., (Eds.), Geneva, Switzerland. pp104.
- Johnson, G. L., Hanson, C. L., Hardegree, S. P., Ballard, E. B., (1996), "stochastic weather simulation: overview and analysis of two commonly used models", *J. Applied Meteorology* 35: 1878-1896.
- Leander, R., Bouishan, T. A., (2006), "Resampling of regional climate model output for the simulation of extreme river flows", *Journal of Hydrology*, 323: 487-496.

- Loukas, A., Vasiliades, L., Tzabiras, J., (2008), "Climate change effects on drought severity", *Geosci*, 17: 23-29.
- Miller, N. I., (2004), "Potential impacts of climate change on California hydrology", *J. of the American Water Resources Association (JAWRA)*, 39 (4):771-784.
- Samadi, Z., Masah Bavani, A., Mahdavi, M., (2007), "Study of regression downscaling methods effect on river flow regime", Workshop on Climate Change Effects On Water Resources Management, Tehran, Iranian national committee.
- Semenov, M. A., Brooks, R. J., Barrow, E. M., Richardson, C.W., (1998), "Comparison of the WGEN and LARS-WG stochastic weather generators in diver's climates", *Climate Research*, 10: 14-30.
- Wilby, R. L., Dawson, C.W., (2013), "The statistical downscaling model :insights from one decade of application", *International Journal of Climatology*, 33 (7): 1707–1719.
- Willby, R. L., Dawson, C.W., Barrow, E. M., (2001), "SDSM Version 3.1 –A decision support tool for the assessment of regional climate change impacts, Department of Computer Science, Loughborough University, [Environment Agency of England and Wales](#).
- Zhao, Y., Camberlin, P., Richard, Y., (2005), "Validation of a coupled GCM and projection of summer rainfall change over South Africa, using a statistical downscaling method", *Climate Research*, 28: 109-122.